УДК 66.095.26:661.729:678.746

ХИМИЧЕСКАЯ ТЕХНОЛОГИЯ

С. С. ИВАНЧЕВ, Ю. Л. ЖЕРЕБИН

ОЛИГОМЕРНЫЕ ПЕРЕКИСИ С РАЗЛИЧНЫМИ ПО ТЕРМОУСТОЙЧИВОСТИ ПЕРЕКИСНЫМИ ГРУППАМИ КАК ИНИЦИАТОРЫ РАДИКАЛЬНОЙ ПОЛИМЕРИЗАЦИИ

(Представлено академиком Б. А. Долгоплоском 2 II 1972)

Олигомерные перекисные соединения с неодинаковыми по термоустойчивости перекисными группами могут представить большой интерес для процессов полимеризации различных мономеров. Сочетание в одном соединении особенностей простых симметричных олигоперекисей и диперекисей с неодинаковыми по термоустойчивости перекисными группами, как нам кажется, позволит реализовать преимущества каждого из этих типов инициаторов без недостатков, присущих этим соединениям в отдельности.

В связи с этим нами синтезирован и изучен в этом аспекте широкий круг (более 30) олигоперекисей общего строения

$$[-O-O-C-(CH_{2})_{n}-C-O-O-C-CH-(CH_{2})_{m}-C-]_{p},\\ \parallel \qquad \parallel \qquad \parallel \qquad \parallel \qquad \parallel \\ O \qquad O \qquad X \qquad O$$

где X = Br, Cl, C_2H_5 , CH_3 ; n = 5-8; m = 4-7.

Синтез этих соединений осуществлен по ранее описанной методике (¹) с выходом $55-80\,\%$. Основные характеристики синтезированных соединений: молекулярный вес $(4,5-8,0)\cdot 10^3$, степень полумеризации 2p+1=22-42, чистота $97-99\,\%$. Идентификация полученных веществ проведена по данным элементарного анализа, результатам различных методов определения молекулярного веса (изопиестическим, криоскопическим, иодометрическим) и данным и.-к. спектроскопии.

На рис. 1 представлены и.-к. спектры 2 типичных представителей замещенных олигоперекисей и взятой для сравнения незамещенной олигоперекиси азелаиновой кислоты. Следует отметить, что спектры всех изученных моно-α-замещенных олигоперекисей независимо от числа метиленовых групп в молекуле имеют аналогичный характер. Полосы поглощения перекисной связи и суммарной перекисной цепочки —С—О—О—С—

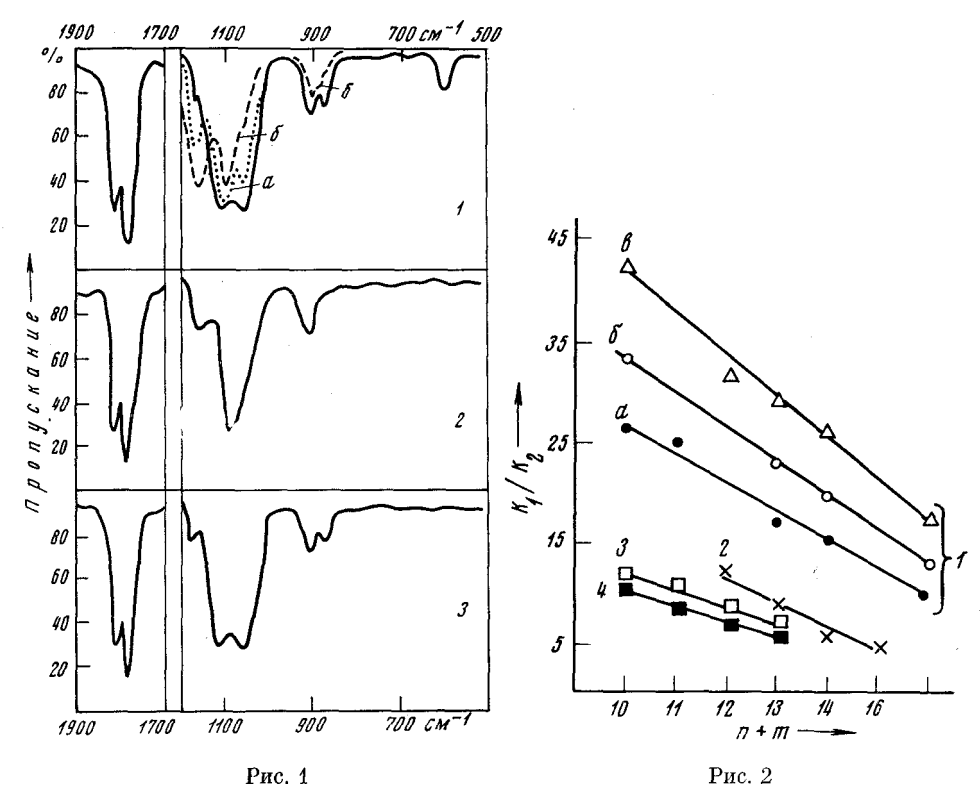
проявляются в виде необычного для диациальных перекисей дублета полос, возникновение которого мы связываем с неравноценностью энергий колебаний соответствующих связей при введении заместителя в α -положение к перекисному карбонилу: ν_{0-0} 890—900 и ν_{0-0} (Y—CH) 860—870,

$$v_{-c-o-o-c}$$
 1100-1105 $v_{-c-o-o-c}$ (Y = -CH-) 1050-1060 $v_{-c-o-o-c}$

Полосы валентных колебаний $v_{\text{C=O}}$ всех изученных соединений проявляются в виде дублета, характерного для диацильных перекисей в области $1780 \pm 3 \text{ см}^{-1}$ (сильная) и $1810 \pm 3 \text{ см}^{-1}$ (менее сильная), и полностью совпадают с соответствующими значениями для $v_{\text{C=O}}$ незамещенной олигоперекиси. Отсутствие сдвига полосы поглощения карбонила, имеющего заместитель в α -положении, наблюдается лишь в том случае, если связь C-X не лежит в одной плоскости со связью C=O (2). В то же время счи-

тается доказанной и копланарность перекисной цепочки -C-O-C- \parallel \parallel \bigcirc \bigcirc \bigcirc

в диацильных перекисях (³). Поэтому в данном случае геометрия молекулы может привести к непосредственному взаимодействию заместителя с перекисной связью, причем тем большему, чем электроотрицательней заместитель и длиннее связь С—Х. В таком случае данный эффект должен



—СН—(СН₂)₆—С—] при 70°, промежуточное положение (20 мин.) (a) и время правиви B г O

тически полного разложения лабильных перекисных связей (60 мин.) (6); 2 — олиго-перекись азелаиновой кислоты (II); 3 — полипимелоилдиперокси- α - C_2H_5 -пимелоил-

О О С₂H₅ О
$$\parallel$$
 \parallel \parallel \parallel \parallel перекись (III) [-O-O-C-)CH₂)₅-C-O-O-C-CH-(CH₂)₄-C-]

Рис. 2. Различие в константах (k_1/k_2) термического разложения олигоперекисей в бензоле в зависимости от природы заместителя (X), числа метиленовых групп в мономерном звене (n+m) и температуры. $1-X=\mathrm{Br},\ a-80^\circ,\ b-70,\ b-60;\ 2,\ 3,\ 4-\mathrm{при}\ 70^\circ,\ \mathrm{rge}\ X-\mathrm{соответственно}\ \mathrm{Cl},\ \mathrm{C}_2\mathrm{H}_5$ и CH_3

сказаться на константах термического разложения близлежащей к заместителю перекисной связи в сторону их увеличения в ряду $\mathrm{CH_3} < \mathrm{C_2H_5} < \mathrm{Cl} < \mathrm{Br}$.

Правильность отнесения основных полос поглощения в и.-к. спектрах синтезированных соединений и выводов, сделанных из их анализа, подтверждается результатами изучения термического разложения олигоперекисей по изменению интенсивности полос поглощения в и.-к. спектрах и подометрическим методом в растворе бензола (0,03 г-осн моль) и методом

ингибиторов в хлорбензоле при различных температурах. Реакция разложения подчиняется уравнению первого порядка и, как ожидалось, носит ступенчатый характер. На рис. 2 приведены отношения констант скоростей реакций термического разложения близлежащей к заместителю (k_1) и удаленной от него (k_2) перекисных группировок олигоперекисей в зависимости от природы заместителя. Значения энергий активаций указанных реакций E_1 и E_2 меняются незначительно и соответственно составляют 22-24 и 28,5-31,5 ккал/моль. Время практически полного разложения лабильной

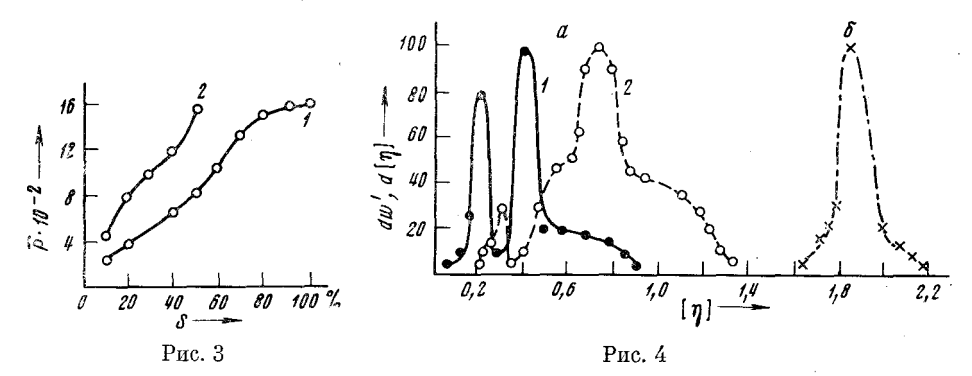


Рис. 3. Зависимость \overline{P} полистирола от коэффициента полимеризации (к.п.) инициатора и глубины превращения. I- к.п. 9,2; 2- к.п. 21,4, $C_{\text{иниц}}=0,025$ г-осн-моль- \cdot л $^{-1}$; $t=80^{\circ}$ С

Рис. 4. М.в.р. полистиролов, полученных при иниципровании полимеризации соединением I с C=0.0125 г-осн моль π^{-1} при 60° (a), I-S=6%; 2-S=40%; 6- при $60^\circ \to 80^\circ$, S=100%

перекисной группировки соединения I хорошо коррелирует со временем исчезновения соответствующих компонент составляющих полос в и.-к. спектрах (рис. 1).

Особенности структуры данного класса инициаторов (достаточно большое число различающихся по термической устойчивости перекисных групп) существенным образом сказывается в реакциях полимеризации. Изучение процесса полимеризации стирола в массе в их присутствии при температурах $60-80^{\circ}$ показывает, что во многих случаях он может быть описан обычными уравнениями, выведенными для монорадикальных процессов. Однако величина молекулярного веса образующихся при этом полимеров оказывается в несколько раз большей, чем это следует из законов обычной кинетики. С целью выяснения этой особенности нами проведено фракционирование соединения I хроматографическим путем и изучено изменение молекулярного веса полимера, полученного в присутствии фракций с различной степенью полимеризации (т. е. различным числом перекисных групп). Из рис. З видно, что с увеличением степени полимеризации инициатора в 2 раза молекулярный вес полистирола также увеличивается примерно вдвое, кроме того, молекулярный вес существенно возрастает и с глубиной превращения.

Фактическая пропорциональность молекулярного веса образующегося полимера изменению коэффициента полимеризации многофункционального инициатора может свидетельствовать и о пропорциональности среднего числа стадий синтеза полистирольной молекулы степени полимеризации олигомерного инициатора. Это также указывает и на незначительную роль первичных радикалов в процессе дезактивации кинетических цепей, что в противном случае должно было привести к отклонению от приведенной выше пропорциональности.

Изучение молекулярно-весового распределения (м.в.р.) полистиролов, полученных в присутствии моно-α-замещенных олигоперекисей, подтверждает высказанное выше предположение о малой доле участия первичных

радикалов в процессе инициирования. Об этом свидстельствует (рис. 4, *a*) бимодальный характер дифференциальных кривых м.в.р. на начальных стадиях с меньшим по интенсивности и более узким пизкомолекулярным максимумом, а также значительное уширение и смещение в сторону больших молекулярных весов более интенсивного максимума.

Исходя из изложенных экспериментальных данных, можно представить механизм полимеризации в присутствии моно-α-замещенных олигопереки-

сей следующим образом.

Вследствие низкой мольной концентрации олигоперекиси в полимеризационной системе происходит относительно быстрое расходование исходных молекул инициатора с образованием полимеров с вошедшими в состав макромолекулярной цепи перекисными группами. Далее иниципрование осуществляется макрорадикалами, образующимися при разрыве перекисных связей в этих макромолекулах. В результате возможности воспроизведения свободнорадикального состояния макромолекулярной цепи за счет вошедших перекисных связей полимерная цепь становится значительно больше реакционной цепи (теоретически во столько раз, сколько перекисных групп входит в состав микромолекулы). По этой причине олигомерная структура перекисей с неодинаковыми по термоустойчивости перекисными группами позволяет достичь при очень высоких скоростях инициирования полимеризации достаточно высоких молекулярных весов образующихся полимеров. Так, в присутствии моно-а-замещенных олигоперекисей образуются полистиролы при средней скорости полимеризации 22% в час с молекулярным весом порядка 500 000, а в случае смесевых инициаторов или олигоперекисей симметричного строения (при скорости в 2 раза меньшей). максимальный молекулярный вес равен 120 000 и 400 000 соответ**ственно** (⁴).

Еще болсе интересный эффект, который достигается применением указанного типа соединений,— это возможность их использования для инициирования полимеризации в переменном температурном режиме. Даже для
ближайших структурных аналогов — симметричных олигоперекисей двухосновных кислот (5) проведение полимеризации в постоянно растущем температурном режиме неизбежно приводит к быстрому расходу инициатора.
Инициатор полимеризации часто исчерпывается задолго до завершения
процесса полимеризации, а сама реакция характеризуется при этом уменьщением скорости инициирования с глубиной превращения, что ведет к образованию полимера с широким м.в.р. Сочетание в молекуле олигоперекиси перекисных группировок двух типов позволяет обойти эти трудности:
по мере расходования перекисных групп одного типа при повышении температуры инициирование идет в основном за счет стабильных перекисных
групп. Образующийся при этом с высокой скоростью польмер достаточно
узкодисперсен в области высоких характеристических вязкостей (рис. 4, б).

Особенности структуры данного типа инициаторов позволяют их использовать и для синтеза блоксополимеров.

Поступило 13 I 1972

ПИТИРОВАННАЯ ЛИТЕРАТУРА

¹ Ю. Л. Жеребин, С. С. Иванчев, В. И. Галибей, Журн. орг. хим., 7, 1660 (1971). ² К. Наканиси, Инфракрасные спектры и строение органических соединений, М., 1965, стр. 52; Д. Р. Дайер, Приложение абсорбционной спектроскопии органических соединений, М., 1970, стр. 52. ³ L. S. Silbert, L. P. Witnauer et al., J. Am. Chem. Soc. 81, 3244 (1959). ⁴ A. B. Голубева, Г. А. Носаев и др., Пластические массы, 1, 3 (1961); Н. С. Цветков, Е. С. Белецкая, Авт. свид. СССР № 162966, 1963; Бюлл. изобр. № 11 (1964). ⁵ Н. С. Цветков, Р. Ф. Марковская, Высокомолек. соед., 6, 2051 (1964).